

**Вынужденные колебания балки с существенно нелинейным гасителем****К. В. Аврамов<sup>а</sup>, О. В. Гендельман<sup>б</sup>**<sup>а</sup> Институт проблем машиностроения им. А. Н. Подгорного НАН Украины, Харьков, Украина<sup>б</sup> Израильский технологический институт – Технион, Хайфа, Израиль

*Вынужденные колебания балки описываются с помощью дискретной модели с двумя степенями свободы, а ее взаимодействие с существенно нелинейным гасителем – моделью с тремя степенями свободы. Анализируются движения балки, способствующие гашению колебаний, которые представляются нелинейными нормальными формами колебаний в конфигурационном пространстве. Расчет движений проводится по методу Раушера. Исследуется устойчивость таких движений по Ляпунову.*

**Ключевые слова:** нелинейные гасители, метод Раушера, нелинейные нормальные формы колебаний.

**Постановка задачи.** Конструкции и теория линейных гасителей колебаний хорошо известны и широко представлены в литературных источниках [1]. К сожалению, такие устройства используются для гашения вынужденных колебаний только в узком частотном диапазоне. Нелинейные гасители колебаний являются эффективными в большем частотном диапазоне [2–5]. Работа системы с таким гасителем рассматривается в [6], там же представлены их различные конструкции. Виброударный гаситель с одной степенью свободы предложен в [7] для гашения вынужденных колебаний. В [8] показано, что нелинейный гаситель уменьшает амплитуды колебаний в широком диапазоне частоты возмущающей силы. Процессы перекачки энергии в существенно нелинейный гаситель исследуются в [9, 10].

В настоящей работе исследуется взаимодействие балки, совершающей вынужденные колебания, с существенно нелинейным гасителем. Движения балки описываются разложением по двум формам ее собственных колебаний. Для исследования полученной существенно нелинейной системы с тремя степенями свободы применяются методы Раушера и нелинейных нормальных форм. Исследуется устойчивость движения балки по Ляпунову.

Нелинейные нормальные формы консервативных систем соответствуют синхронным периодическим движениям, при которых все массы достигают максимальных значений и проходят через нуль одновременно. Если дискретная система совершает колебания по нелинейной нормальной форме, то это движение имеет вид кривой в конфигурационном пространстве. Положительным для нелинейных нормальных форм колебаний является возможность описать движение системой с одной степенью свободы. Нелинейные нормальные формы очень важны при анализе вынужденных колебаний. Основные резонансы при вынужденных колебаниях в нелинейных системах в случае отсутствия внутренних резонансов происходят около нелинейных нормальных форм свободных колебаний.

Метод Раушера является эффективным при анализе вынужденных колебаний неавтономных систем с одной степенью свободы  $q$  [11]. Согласно подходу предполагается, что периодическая сила, действующая на этот осциллятор, равняется нулю. В такой автономной системе аналитически отыскивается движение  $q(t)$ . Затем это решение обращается в  $t = t(q)$  и вводится в неавтономную часть системы, которая представляет собой периодическую внешнюю силу. В результате получается псевдоавтономная динамическая система, которая может быть решена аналитически. Некоторое обобщение метода Раушера рассмотрено в [12]. В [11] предложено использовать полиномы Чебышева для аппроксимации функции  $t = t(q)$ . В [13] комбинацию метода Раушера и нелинейных нормальных форм использовали для анализа дискретных систем с произвольным числом степеней свободы.

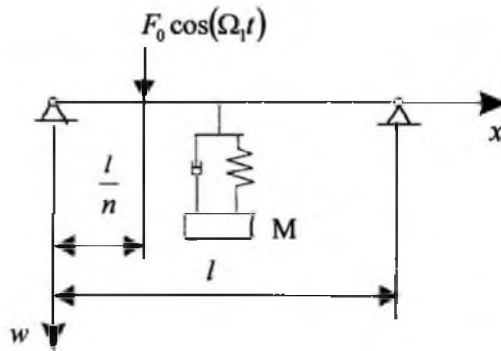


Рис. 1. Механическая система, состоящая из балки и гасителя.

Рассматриваемая механическая система представлена на рис. 1. Гаситель системы связан с балкой существенно нелинейной пружиной, которая описывается силой  $R = \hat{K}\Delta^3$ , где  $\Delta$  – перемещения пружины. Колебания балки возбуждаются с помощью периодической нагрузки, которая приложена в точке  $x = l/n$ , где  $l$  – длина балки;  $n$  – произвольное число. Гаситель крепится в точке  $l/2$ . В таком случае наблюдается наиболее эффективное гашение собственных колебаний первой формы. Данная механическая система описывается нелинейным интегро-дифференциальным уравнением и обыкновенным дифференциальным уравнением [14]:

$$\rho A \hat{w}_{\hat{t}\hat{t}} + \hat{\beta} \hat{w}_{\hat{t}} + EJ \hat{w}_{\hat{x}\hat{x}\hat{x}\hat{x}} = \frac{EA}{2l} \hat{w}_{\hat{x}\hat{x}} \int_0^l \hat{w}_{\hat{x}}^2 d\hat{x} + \hat{F}_0 \hat{\delta} \left( \hat{x} - \frac{l}{n} \right) \cos(\hat{\Omega} \hat{t}) + \hat{\delta} \left( \hat{x} - \frac{l}{2} \right) \left\{ \hat{K} \left[ \hat{q} - \hat{w} \left( \frac{l}{2}, \hat{t} \right) \right]^3 + \hat{\gamma} \left[ \hat{q} - \hat{w} \left( \frac{l}{2}, \hat{t} \right) \right] \right\}; \quad (1)$$

$$\hat{M} \hat{q}'' = -\hat{K} \left[ \hat{q} - \hat{w} \left( \frac{l}{2}, \hat{t} \right) \right]^3 - \hat{\gamma} \left[ \hat{q} - \hat{w} \left( \frac{l}{2}, \hat{t} \right) \right], \quad (2)$$

где  $\hat{w}_t = \dot{\hat{w}} = \frac{\partial \hat{w}}{\partial \hat{t}}$ ;  $\hat{w}_x = \frac{\partial \hat{w}}{\partial \hat{x}}$ ;  $\hat{w}(\hat{x}, \hat{t})$  – динамический прогиб балки;  $\frac{EA}{2l} \int_0^l \hat{w}_x^2 d\hat{x}$

– продольная сила, возникающая вследствие умеренных перемещений;  $\rho$ ,  $E$  – плотность материала стержня и модуль Юнга;  $J$ ,  $A$  – момент инерции и площадь поперечного сечения;  $\hat{q}$  – обобщенная координата, описывающая динамику гасителя;  $\hat{M}$  – масса гасителя;  $\hat{\gamma}$  – коэффициент вязкого сопротивления.

Рассматриваемая балка может моделировать, например, лопасть вертолета или руку манипулятора.

Введем безразмерные переменные и параметры [15]:

$$\begin{aligned} x &= \frac{\hat{x}}{l}; & t &= \frac{\hat{t}}{l^2} \sqrt{\frac{E}{\rho}} \hat{t}; & w &= \frac{\hat{w}}{l}; & q &= \frac{\hat{q}}{l}; & \delta \left( x - \frac{1}{2} \right) &= l \hat{\delta} \left( \hat{x} - \frac{l}{2} \right); \\ r &= \frac{\hat{r}}{l}; & \Omega &= \hat{\Omega} \frac{l^2}{r} \sqrt{\frac{\rho}{E}}; & \beta &= \frac{\hat{\beta} l}{Ar \sqrt{\rho E}}; & F_0 &= \frac{\hat{F}_0}{AE}; \\ K &= \frac{\hat{K} l^3}{AE}; & \gamma &= \frac{\hat{\gamma} r}{Al \sqrt{\rho E}}; & \bar{M} &= \frac{\hat{M}}{\rho Al}, \end{aligned} \quad (3)$$

где  $\hat{r}$  – радиус инерции поперечного сечения,  $\hat{r} = \sqrt{J/A}$ .

Динамическую систему (1), (2) запишем относительно безразмерных переменных и параметров:

$$\begin{aligned} r^2 (w_{tt} + \beta w_t + w_{xxxx}) &= \frac{w_{xx}}{2} \int_0^1 w_x^2 dx + F_0 \delta \left( x - \frac{1}{n} \right) \cos(\Omega t) + \\ &+ \delta \left( x - \frac{1}{2} \right) \left\{ K \left[ q - w \left( \frac{1}{2}, t \right) \right]^3 + \gamma \left[ \dot{q} - \dot{w} \left( \frac{1}{2}, t \right) \right] \right\}; \end{aligned} \quad (4)$$

$$\bar{M} r^2 \ddot{q} + K \left[ q - w \left( \frac{1}{2}, t \right) \right]^3 + \gamma \left[ \dot{q} - \dot{w} \left( \frac{1}{2}, t \right) \right] = 0. \quad (5)$$

Колебания балки  $w(x, t)$  представим в виде разложения по двум формам собственных колебаний:

$$w(x, t) = r^k [u_1(t) \sin \pi x + u_2(t) \sin 2\pi x], \quad k > 1. \quad (6)$$

Координата гасителя удовлетворяет следующей замене переменных:  $q = r^k \theta$ . В дальнейшем используем малый параметр  $\varepsilon = r^{2k-2} \ll 1$ . Предположим, что масса гасителя значительно меньше массы балки:

$$\overline{M} = \varepsilon M. \quad (7)$$

Анализ нелинейных нормальных форм колебаний производится без учета диссипации [13]. Поэтому полагаем, что  $\gamma = 0$ . Уравнение (6) введем в (4), (5) и будем решать его с помощью метода Бубнова–Галеркина. В результате получим следующую дискретную динамическую систему:

$$\ddot{u}_1 + \pi^4 u_1 + \varepsilon \frac{\pi^4}{4} (u_1^2 + 4u_2^2) u_1 = \varepsilon f_0 \cos \Omega t + \varepsilon 2K(\theta - u_1)^3; \quad (8a)$$

$$\ddot{u}_2 + 16\pi^4 u_2 + \varepsilon \pi^4 (u_1^2 + 4u_2^2) u_2 = \varepsilon f_0 \cos \Omega t; \quad (8б)$$

$$M\ddot{\theta} + K(\theta - u_1)^3 = 0; \quad (8в)$$

$$\varepsilon f_0 = \sqrt{3} F_0 r^{-2-k}. \quad (8г)$$

Из уравнения (8г) следует, что внешняя сила имеет тот же порядок малости по  $\varepsilon$ , что и нелинейные члены дискретной модели балки (8а), (8б). Более того, значения линейных упругих и инерционных сил дискретной модели балки (8а), (8б) больше, чем периодической сосредоточенной силы.

**Нелинейная нормальная форма режима гашения колебаний.** Рассматриваются вынужденные колебания системы (8), соответствующие режиму гашения. Предположим, что амплитуды колебаний балки ( $u_1$ ,  $u_2$ ) являются малыми, а гаситель совершает колебания с большими размахами. Тогда величины обобщенных координат можно оценить так:

$$u_1 = O(\varepsilon); \quad u_2 = O(\varepsilon); \quad \theta = O(1). \quad (9)$$

Рассмотрим использование методов Раушера и нелинейных нормальных форм для анализа движений (9). Исследуем режим гашения в невозмущенной системе (8),  $\varepsilon = 0$ . Движения (9) представим в виде

$$u_1 = u_2 = 0; \quad M\ddot{\theta} + K\theta^3 = 0. \quad (10)$$

Решение уравнения (10) можно записать так:

$$t = \frac{1}{\sqrt{2} \theta_{\max} \chi} F(\varphi, k_1); \quad k_1 = \frac{1}{\sqrt{2}}; \quad (11a)$$

$$\varphi = \arccos \left( \frac{\theta}{\theta_{\max}} \right), \quad (11б)$$

где  $\chi = \sqrt{K/(2M)}$ ;  $\theta_{\max}$  – амплитуда колебаний;  $F(\varphi, k_1)$  – эллиптический интеграл;  $k_1$  – модуль эллиптического интеграла.

Уравнение (11a) может быть представлено в следующем виде:

$$\theta = \theta_{\max} \operatorname{cn}(\sqrt{2}\theta_{\max}\chi t, k_1), \quad (12)$$

где  $\operatorname{cn}(\sqrt{2}\theta_{\max}\chi t, k_1)$  – функция Якоби.

Уравнение (12) запишем так:

$$\theta = \theta_{\max} \cos \varphi. \quad (13)$$

Следуя методу Раушера, нулевое приближение режима гашения колебаний (11a) введем в динамическую систему (8). В результате получим псевдо-автономную систему [3], которая приближенно описывает вынужденные колебания. Решение (11a) введем в слагаемое  $\varepsilon f_0 \cos \Omega t$  уравнения (8):

$$\varepsilon f_0 \cos \Omega t = \varepsilon f_0 g(\varphi) = \varepsilon f_0 \cos \left[ \frac{\Omega}{\sqrt{2}\theta_{\max}\chi} F(\varphi, k_1) \right]. \quad (14)$$

Функция  $g(\varphi)$  является периодической:  $g(\varphi + 2\pi) = g(\varphi)$ . Из этого условия получим значения частот возмущающей силы  $\Omega$ :

$$\Omega = \frac{\theta_{\max}\chi\pi}{\sqrt{2}K(k_1)}. \quad (15)$$

Тогда функцию  $g(\varphi)$  запишем так:

$$g(\varphi) = \cos \left[ \frac{\pi}{2K(k_1)} F(\varphi, k_1) \right]. \quad (16)$$

Для дальнейшего анализа функцию  $g(\varphi)$  представим в виде ряда Фурье:

$$g(\varphi) = A_1 \cos \varphi + A_3 \cos 3\varphi + \dots \quad (17)$$

Гармоники ряда (17) получены аналитически [3] и имеют следующий вид:

$$A_1 = \frac{\pi\sqrt{2}}{K\left(\frac{1}{\sqrt{2}}\right)\operatorname{sh}\left(\frac{\pi}{2}\right)}; \quad A_3 = \frac{\pi\sqrt{2}\left[\pi^2 - 3K^2\left(\frac{1}{\sqrt{2}}\right)\right]}{3\operatorname{sh}\left(\frac{\pi}{2}\right)K^3\left(\frac{1}{\sqrt{2}}\right)}. \quad (18)$$

Введем (13) в (17) и получим степенной ряд:

$$g(\theta) = (A_1 - 3A_3)\frac{\theta}{\theta_{\max}} + 4A_3\frac{\theta^3}{\theta_{\max}^3} + \dots \quad (19)$$

Систему уравнений (8) заменим следующей псевдоавтономной системой:

$$\ddot{u}_i + \omega_i^2 u_i + \varepsilon \pi^4 \alpha_i (u_1^2 + 4u_2^2) u_i = \varepsilon f_0 g(\theta) + \varepsilon 2K\beta_i (\theta - u_1)^3, \quad i=1, 2; \quad (20a)$$

$$M\ddot{\theta} + K(\theta - u_1)^3 = 0, \quad (20б)$$

где  $\omega_1^2 = \pi^4$ ;  $\omega_2^2 = 16\pi^4$ ;  $\alpha_1 = \frac{1}{4}$ ;  $\alpha_2 = 1$ ;  $\beta_1 = 1$ ;  $\beta_2 = 0$ .

Нелинейная нормальная форма динамической системы (20) имеет вид [13]

$$u_i = u_i(\theta), \quad i=1, 2. \quad (21)$$

Теперь уравнения (20) представим в конфигурационном пространстве. Для этого воспользуемся следующими формулами:

$$\frac{d^2 u_i}{dt^2} = u_i''(\theta)\ddot{\theta}^2 + u_i'(\theta)\ddot{\theta}. \quad (22)$$

С использованием (22) уравнение (20б) запишем так:

$$\ddot{\theta}^2 = -4\chi^2 \int_{\theta_{\max}}^{\theta} [\theta - u_1(\theta)]^3 d\theta. \quad (23)$$

Формулы (20б), (22) и (23) введем в (20а). В результате получим систему обыкновенных дифференциальных уравнений в конфигурационном пространстве:

$$\begin{aligned} & -4\chi^2 u_i''(\theta) \int_{\theta_{\max}}^{\theta} [\theta - u_1(\theta)]^3 d\theta - 2\chi^2 (\theta - u_1)^3 u_i'(\theta) + \omega_i^2 u_i + \\ & + \varepsilon \pi^4 \alpha_i (u_1^2 + 4u_2^2) u_i = \varepsilon f_0 g(\theta) + \varepsilon 2K\beta_i (\theta - u_1)^3, \quad i=1, 2. \end{aligned} \quad (24)$$

Согласно оценкам (9), режим гашения колебаний представим так:

$$u_i = \varepsilon \bar{u}_i(\theta). \quad (25)$$

Уравнение (25) введем в (24) и проведем асимптотический анализ, в результате чего получим:

$$\begin{aligned} & -\chi^2 \bar{u}_i''(\theta) [\theta^4 - \theta_{\max}^4] - 2\chi^2 \theta^3 \bar{u}_i'(\theta) + \omega_i^2 \bar{u}_i = \\ & = f_0 g(\theta) + 2K\beta_i \theta^3 + O(\varepsilon), \quad i=1, 2. \end{aligned} \quad (26)$$

Для определения граничных условий уравнение  $\theta = \pm \theta_{\max}$  введем в (26). Оба граничных условия тождественны вследствие симметрии решений  $u_i(\theta)$ ,  $i = 1, 2$  и принимают следующий вид:

$$\begin{aligned} & -2\chi^2 \theta_{\max}^3 \bar{u}'_i(\theta_{\max}) + \omega^2 \bar{u}_i(\theta_{\max}) = \\ & = f_0 g(\theta_{\max}) + 2K\beta_i \theta_{\max}^3 + O(\varepsilon), \quad i = 1, 2. \end{aligned} \quad (27)$$

Решение системы (26), (27) представим так:

$$\bar{u}_i = B_1^{(i)} \theta + B_3^{(i)} \theta^3 + B_5^{(i)} \theta^5 + \dots, \quad i = 1, 2, \quad (28)$$

где параметры  $B_1^{(i)}$ ,  $B_3^{(i)}$ , ... подлежат определению.

Ряд (28) введем в систему дифференциальных уравнений (26) и граничные условия (27). Приравняв коэффициенты при одинаковых степенях  $\theta$ , получим бесконечную систему линейных алгебраических уравнений относительно параметров  $B_1^{(i)}$ ,  $B_3^{(i)}$ ,  $B_5^{(i)}$ , ... . В данном анализе система ограничена четырьмя линейными алгебраическими уравнениями. Для краткости изложения система не приводится. В результате ее решения получим коэффициенты  $B_1^{(i)}$ ,  $B_3^{(i)}$ ,  $B_5^{(i)}$ , ... . Подставив их в (28) и (25), находим аналитически режим гашения. С целью краткости изложения он также не приводится.

Теперь исследуем нелинейную нормальную форму (28) при квазистатическом изменении частоты возбуждения  $\Omega$ . Нелинейную моду введем в уравнение (20б), в результате чего получим следующую динамическую систему:

$$\ddot{\theta} + 2\chi^2 \left[ \theta^3 - 3\varepsilon \sum_{i=0} B_{2i+1}^{(1)} \theta^{2i+3} \right] + O(\varepsilon^2) = 0. \quad (29)$$

Период колебаний системы (29) определяется так:

$$\begin{aligned} T(\theta_{\max}) &= 4 \int_0^{\theta_{\max}} \frac{d\theta}{\sqrt{C + \chi^2 \left[ 12\varepsilon \sum_{i=0} (2i+4)^{-1} B_{2i+1}^{(1)} \theta^{2i+4} - \theta^4 \right]}}, \quad (30) \\ C &= \chi^2 \left[ \theta_{\max}^4 - 12\varepsilon \sum_{i=0} (2i+4)^{-1} B_{2i+1}^{(1)} \theta_{\max}^{2i+4} \right]. \end{aligned}$$

Заметим, что при  $\varepsilon = 0$  уравнения (15) и (30) совпадают.

Амплитудно-частотная характеристика вынужденных колебаний рассчитывается так. Задается значение  $\theta_{\max}$  с некоторым шагом. Для каждого

значения  $\theta_{\max}$  определяется нелинейная нормальная форма режима гашения (28) и частота колебаний из (30). При расчетах использовались следующие значения параметров:  $\varepsilon = 0,1$ ;  $f_0 = 1$ ;  $K = 2$ ;  $M = 1$ . Амплитудно-частотная характеристика нелинейной нормальной формы (28) показана на рис. 2.

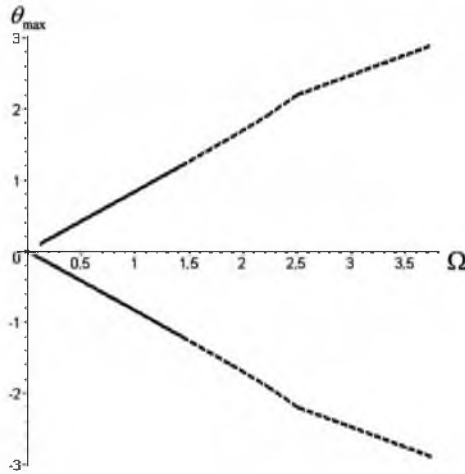


Рис. 2. Амплитудно-частотная характеристика механической системы (28).

При  $\Omega = 0,59641$  и  $\theta_{\max} = 0,5$  проводилось прямое численное интегрирование нелинейной нормальной формы с использованием таких начальных условий:

$$\dot{u}_1(0) = \dot{u}_2(0) = \dot{\theta}(0) = 0; \quad u_1(0) = \varepsilon \bar{u}_1(\theta_{\max}); \quad u_2(0) = \varepsilon \bar{u}_2(\theta_{\max}); \quad \theta(0) = \theta_{\max}.$$

Результаты расчета (рис. 3) представлены в конфигурационном пространстве  $(u_1, \theta)$ . На рис. 3 приведена нелинейная нормальная форма режима гашения, полученная аналитически. Видно, что аналитические и численные результаты очень близки.

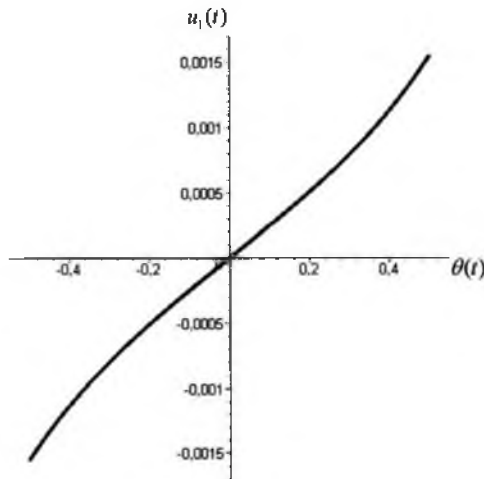


Рис. 3. Результаты прямого численного моделирования нелинейной нормальной формы в конфигурационном пространстве, где по осям откладываются обобщенные координаты.



**Анализ устойчивости колебаний.** Рассматривается устойчивость по Ляпунову нелинейной нормальной формы (25), (28). Введем малые отклонения  $\Delta u_1(t)$ ,  $\Delta u_2(t)$ ,  $\Delta\theta(t)$  от периодических траекторий  $u_1(t)$ ,  $u_2(t)$ ,  $\theta(t)$ , которые удовлетворяют системе уравнений в вариациях:

$$\Delta\ddot{u}_1 + \pi^4 \Delta u_1 + 6\varepsilon K\theta^2(t)(\Delta u_1 - \Delta\theta) + O(\varepsilon^2) = 0; \quad (31a)$$

$$\Delta\ddot{u}_2 + 16\pi^4 \Delta u_2 + O(\varepsilon^3) = 0; \quad (31б)$$

$$\Delta\ddot{\theta} + 6\chi^2 [(2\varepsilon B_1^{(1)} - 1)\theta^2 + 2\varepsilon B_3^{(1)}\theta^4 + 2\varepsilon B_5^{(1)}\theta^6](\Delta u_1 - \Delta\theta) = 0, \quad (31в)$$

где функция  $\theta(t)$  имеет вид (13).

Из уравнения (31б) следует, что переменная  $\Delta u_2(t)$  является независимой. Более того, уравнения (31а), (31в) не зависят от  $\Delta u_2$ . Поэтому для дальнейшего анализа устойчивости система (31а), (31в) рассматривается отдельно от (31б). Для упрощения уравнений (31а), (31в) функцию  $\theta(t)$  представим так:

$$\theta(t) = \frac{2\Omega}{\chi} \sum_{j=1}^{\infty} \text{ch}^{-1}[\pi(j - 0,5)] \cos[(2j - 1)\Omega t]. \quad (32)$$

Систему (31а), (31в) запишем в виде

$$\Delta\ddot{u}_1 + \pi^4 \Delta u_1 + 48\varepsilon\Omega^2 M[G_1 + G_2 \cos(2\Omega t)](\Delta u_1 - \Delta\theta) = 0; \quad (33a)$$

$$\Delta\ddot{\theta} + 6\chi^2 [G_3 + G_4 \cos(2\Omega t)](\Delta u_1 - \Delta\theta) = 0. \quad (33б)$$

Параметры  $G_1$ ,  $G_2$ ,  $G_3$ ,  $G_4$  не приведены с целью краткости изложения.

Для исследования устойчивости тривиальных решений фундаментальная матрица определяется прямым численным интегрированием при  $t = 2\pi\Omega^{-1}$  [12]. Численно исследуем устойчивость периодических движений, которые представлены на рис. 2. Устойчивые и неустойчивые движения показаны на рис. 2 сплошными и штриховыми линиями соответственно. Заметим, что нормальная форма (рис. 3) соответствует области устойчивых колебаний, бифуркация типа “вилка” периодических движений [16] наблюдается при  $\theta_{\max} \approx 1,2$  и  $-1,2$ .

## Резюме

Вимушені коливання стрижня описуються за допомогою моделі з двома степенями вільності, а його взаємодія із суттєво нелінійним гасником – моделлю з трьома степенями вільності. Аналізуються рухи балки з точки зору гасіння коливань, які представляються нелінійними нормальними формами у конфігураційному просторі. Для їх дослідження використовується метод Раушера. Аналізується стійкість рухів по Ляпунову.

1. Каудерпер Г. Нелинейная механика. – М.: Изд-во иностр. лит., 1961. – 735 с.
2. Avramov K. V. and Mikhlin Yu. V. Damping of free elastic vibrations in linear systems // *Int. Appl. Mech.* – 2005. – No. 2. – P. 203 – 209.
3. Avramov K. V. and Mikhlin Yu. V. Snap-through truss as an absorber of forced oscillations // *J. Sound Vibration.* – 2006. – No. 29. – P. 705 – 722.
4. Михлин Ю. В., Решетникова С. Н. Анализ динамического поведения двухмассовой системы при существенно нелинейном виброгашении // *Прикл. механика.* – 2005. – № 1. – С. 102 – 111.
5. Mikhlin Yu. V. and Reshetnikova S. N. Dynamical interaction of an elastic system and essentially nonlinear absorber // *J. Sound Vibration.* – 2005. – No. 283. – С. 91 – 120.
6. Nissen J. C., Popp K., and Schmalhorst R. Optimization of a non-linear vibration absorber // *Ibid.* – 1985. – No. 99. – P. 149 – 154.
7. Semecigil S. E., Lammers D., and Ying Z. A new tuned vibration absorber for wide-band excitations // *Ibid.* – 1992. – No. 156. – P. 445 – 459.
8. Natsiavas S. Steady state oscillations and stability of non-linear dynamic vibration absorbers // *Ibid.* – P. 227 – 245.
9. Gendelman O. V. Bifurcations of nonlinear normal modes of linear oscillator with strongly nonlinear damped attachment // *Nonlinear Dynamics.* – 2004. – No. 37. – P. 115 – 128.
10. Gendelman O. V., Gourdon E., and Lamarque C. H. Quasiperiodic energy pumping in coupled oscillators under periodic forcing // *J. Sound Vibrations.* – 2006. – No. 294. – P. 651 – 662.
11. Rauscher M. Steady oscillations of system with nonlinear and unsymmetrical elasticity // *J. Appl. Mech.* – 1938. – 5, A-169.
12. Стокер Дж. Нелинейные колебания в механических и электрических системах. – М.: Изд-во иностр. лит., 1952. – 259 с.
13. Маневич Л. И., Михлин Ю. В., Пилипчук В. Н. Метод нормальных колебаний для существенно нелинейных систем. – М.: Наука, 1989. – 280 с.
14. Avramov K. V. Bifurcations at combination resonance and quasiperiodic vibration of flexible beams // *Int. Appl. Mech.* – 2003. – No. 8. – P. 976 – 982.
15. Nayfeh A. H. and Mook D. T. *Nonlinear Oscillations.* – New York: John Wiley and Sons, 1979. – 880 p.
16. Гукенхеймер Дж., Холмс Ф. Нелинейные колебания, динамические системы и бифуркации векторных полей. – М.: Ин-т компьютерных исследований, 2002. – 450 с.

Поступила 10. 04. 2007